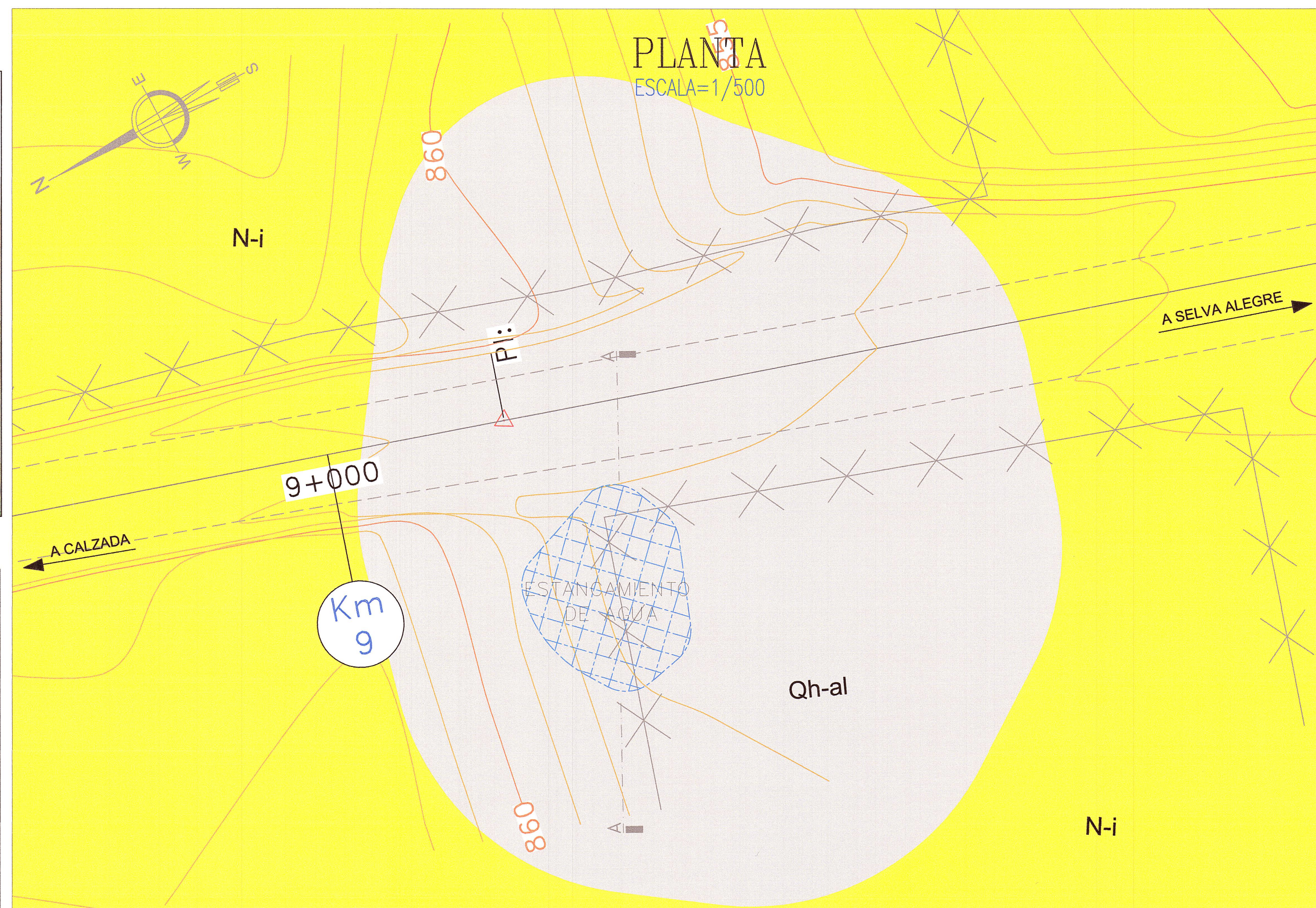


CANTERA DE NO METALICA EXPLOTADA Y ABANDONADA CON DEPRESIONES QUE SE FORMAN ESTANCAMIENTOS DE AGUA EN EPOCAS DE LLUVIA.



ESTANCAMIENTO DE AGUA EN EPOCAS DE ESTIAJE



CUADRO ESTRATIGRAFICO				
ERATEMA	SISTEMA	SERIE	UNIDADES LITOSTRATIGRAFICAS	
CENOZOICA	CUATERNARIO	HOLOCENO	Depositos Fluviol	Qh-fi
			Depositos Aluviales	Qh-cl
		Depositos Coluviales	Qh-co	
	NEOGENO	PLEISTOCENO	Depositos Aluviales Antiguo	Qh-cl
			Grupo Ipururo	N-1
		PALEOGENO	OLIGOCENO	Grupo Huayabamba
EOCENO	P-hu2			
PALEOCENO	Fm. Yahuarango	KsP-hu1		

SIMBOLOGIA			
	BOFEDAL		CALICATA
	ESTANCAMIENTO AGUA		DESLIZAMIENTO
	PUENTES Y PONTONES		ZONA DE DERRUMBE
	EJE DE CARRETERA		CAIDA DE ROCAS
	CURVAS MAYORES		ASENTAMIENTO
	CURVAS MENORES		RUMBO Y BUZAMIENTO SUAVE (0° - 30°)
	QUEBRADAS		CONTACTO GEOLOGICO
	FALLA INFERIDA		EJE DE SINCLINAL
	RIO		EJE DE ANTICLINAL
	CANTERA		FALLA NORMAL
	AGUAJAL		FALLA INVERSA

PARAMETROS Y SOLUCIONES GEOTECNICAS

RESUMEN DE ENSAYOS DE LABORATORIO DE ZONAS INESTABLES (Calicatas).																			
Nº	EVENTO GEODINAMICO	PROGRESIVA		LADO	SUELOS				ENSAYOS ESTANDARES					CORTE DIRECTO		ENSAYOS QUIMICOS			
		INICIAL	FINAL		SUCS	AASHTO	L.L.	L.P.	L.P.	CONT. HUMEDAD (%)	P.E. (Part.solidas)	METOD. "A" TAMIZ 200 (%)	PESO UNITARIO (g/cm3)	COHESION (kPa)	ANG. FRICC. (θ)	PH(mg/K g)	SALES SOLUBLES (mg/Kg)	CLORUROS (Mg/Kg)	SULFATOS (Mg/Kg)
2	Estancamiento de agua	9+010	9+030	Der.	SM	A-4 (0)	20	N.P.	N.P.	7.5	2.679	41.3	1.184	0.3	21.8	4.58	90	<10	45

RESUMEN DE LA ZONAS INESTABLES							
Nº	EVALUACION GEODINAMICA ZONAS INESTABLES	PROGRESIVA		LADO	LONGITUD	RIESGO	SOLUCION GEOTECNICA
		INICIAL	FINAL				
2	Estancamiento de Agua	9+010	9+030	Der.	20.00	Moderado	Evacuación por rebose hacia las alcantarillas del Km. 9+269.50

